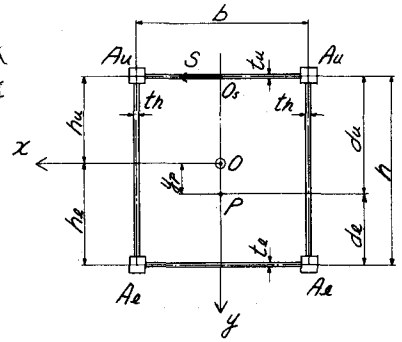


- 東京大学 学生員 倉方慶夫
- 東京大学 正員 西野文雄
- 東京大学 正員 奥村敏志

1. まえがき トラス橋では、断面形保持のために原則として対傾構を設けることになっているが、断面空間の大きい事を利用した二階建トラス橋や一般下路トラス橋では、対傾構の剛性は低いものとなり、また美観上から対傾構を省略する傾向にあり、支間の長大化につれ断面形状によっては、座屈安定上の問題が起りうることを考えられる。箱型トラスの横剛性座屈に関しては、トラスを薄肉梁へ置換し、二次せん断変形を無視、断面形不変としたいわゆる一般せりねじり理論による検討¹⁾があるが、ここでは対傾構の剛性を問題とするので、断面の変形を考慮し、またトラス橋では腹板の変形が比較的大きいので二次せん断変形も考慮し、横剛性座屈へ応用する為の段階として、一般荷重に対する有限変位としての基本方程式を導く。

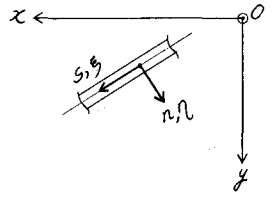
2. 前提と仮定

- a). 主構の腹板と上下横構は、それぞれの面内のせん断変形にだけ抵抗する板場(せん断場)に置換しうる。(以後、主構腹板と上下横構を単に腹板という。)
- b). 対傾構も同様にせん断場に置換しうるとするが、その間隔は支間に比べ細かく配置されているものとし、対傾構応力は梁の軸方向に沿って分布する応力として取扱いうる。(ここでは断面の横断方向の変形に抵抗するように組まれた構造系を総称して対傾構という。)
- c). 断面は一定で、一軸対称矩形断面とする。(図-1)
- d). 変形後も弦線間の距離は変化しない。



(図-1) 横断面諸元と記号

- e). 右手系座標 (x, y, z) を用い、それぞれ方向の変位を (u, v, w) と表わす。さらに腹板中心線に沿って s 座標を設け、それぞれ直交する方向の座標を n とし、それぞれ方向の変位を ξ, η と表わす。(図-2)
- f). 実際の問題を扱う範囲では、有限変位といえども変位はそれほど大きくないので、ひずみ成分の表示において一次の項で現わしたものは二次の項で省略しうる。さらに u, v に比べ w は小さいので w に関する二乗項を無視すると、有限変位ひずみ成分は次のように表わされる。²⁾



(図-2) sn 座標

$$\left. \begin{aligned} \epsilon_x &= \frac{\partial u}{\partial x} + \frac{1}{2} \left(\frac{\partial v}{\partial x} \right)^2, \quad \epsilon_y = \frac{\partial v}{\partial y} + \frac{1}{2} \left(\frac{\partial u}{\partial y} \right)^2, \quad \epsilon_z = \frac{\partial w}{\partial z} + \frac{1}{2} \left\{ \left(\frac{\partial u}{\partial z} \right)^2 + \left(\frac{\partial v}{\partial z} \right)^2 \right\} \\ \gamma_{xy} &= \frac{\partial u}{\partial y} + \frac{\partial v}{\partial x}, \quad \gamma_{yz} = \frac{\partial v}{\partial z} + \frac{\partial w}{\partial y} + \frac{\partial u}{\partial y} \frac{\partial u}{\partial z}, \quad \gamma_{zx} = \frac{\partial w}{\partial z} + \frac{\partial u}{\partial z} + \frac{\partial v}{\partial z} \frac{\partial v}{\partial x} \end{aligned} \right\} \quad (1)$$

g). 有限変位が問題となるような寸法の梁では、せん断変形はそれほど重要な因子には実際上はならないので非線形なせん断ひずみ成分を無視して、腹板(せん断場)のひずみ成分を次のように表わす。³⁾

$$\gamma_{xz} = \frac{\partial_0(z)}{GZ(s)} + l C_1(z) + m C_2(z) + \beta_p C_3(z) + \beta_q C_4(z) \quad (2)$$

(注; 一般せりねじり理論では、 $C_2(z) = 0$, $l = 1 \sim 4$, とされる。)

ここに, t ; 腹板換算せん断端の板厚, t あり, L, m, ρ_p, ρ_p^* については, (5), (7) 式による。

3. x, y 方向変位 u, v

前提から, $\epsilon_x = 0, \epsilon_y = 0, \gamma_{xy} = 2\alpha(z), \varphi(z) = \frac{1}{2} \left(\frac{\partial v}{\partial x} - \frac{\partial u}{\partial y} \right)$ (3)

ここに, 2α ; 対傾構置換せん断端のせん断ひずみ, φ ; 断面の剛体的回転変位
 点 $P(x_p, y_p)$ での x, y 方向変位を u_p, v_p とする, (1), (3) 式より,

$$u = u_p + (\alpha - \varphi)(y - y_p) - \frac{1}{2}(\alpha + \varphi)^2(x - x_p), \quad v = v_p + (\alpha + \varphi)(x - x_p) - \frac{1}{2}(\alpha - \varphi)^2(y - y_p) \quad (4)$$

方向余弦 $l = \frac{\partial x}{\partial s} = \frac{\partial x}{\partial n}, \quad m = \frac{\partial y}{\partial s} = -\frac{\partial x}{\partial n}$, を用いて,

$$\left. \begin{aligned} \xi &= u l + v m = u_p l + v_p m + \varphi \rho_p + \alpha \rho_p^* - \frac{1}{2}(\alpha^2 + \varphi^2) \rho_{pn} - \alpha \varphi \rho_{pn}^* \\ \eta &= v l + u m = -u_p m + v_p l + \varphi \rho_{pn} + \alpha \rho_{pn}^* + \frac{1}{2}(\alpha^2 + \varphi^2) \rho_p + \alpha \varphi \rho_p^* \end{aligned} \right\} \quad (6)$$

$$\left. \begin{aligned} \rho_p &= (x - x_p)m - (y - y_p)l, \quad \rho_{pn} = (x - x_p)l + (y - y_p)m \\ \rho_p^* &= (x - x_p)m + (y - y_p)l, \quad \rho_{pn}^* = (x - x_p)l - (y - y_p)m \end{aligned} \right\} \quad (7)$$

4. z 方向変位 w

(1) 式と同様に, 腹板のせん断ひずみは, $\gamma_{sz} = \frac{\partial w}{\partial s} + \frac{\partial \xi}{\partial z} + \frac{\partial \eta}{\partial s} \frac{\partial z}{\partial z}$ (8)

(8) 式に (2), (6) 式を代入し, 変位の3次以上の項を無視して, s について積分する。このとき閉断面であるから, 変位 w の連続条件 $w(s) = w(s + \oint ds)$ を用いると, $\oint \rho_p^* ds = 0$ であるから次式をうる。

$$\epsilon_0 = - (C_3 - \varphi') \frac{2F}{\oint \frac{ds}{t}}, \quad 2F = \oint \rho_p ds \quad (9)$$

よって, $w = C(z) + \{C_1 - u_p' - v_p'(\alpha + \varphi)\}x + \{C_2 - v_p' - u_p'(\alpha - \varphi)\}y + (C_3 - \varphi')u_p + (C_4 - \alpha')u_p^*$ (10)

$$\text{ここに, } u_p = \int_0^s (\rho_p - \tilde{c}) ds, \quad \tilde{c} = \frac{2F}{\oint \frac{ds}{t}} \cdot \frac{1}{t}, \quad u_p^* = \int_0^s \rho_p^* ds \quad (11)$$

u_p^* は, 問題とする腹板中心線上において, C, x, y, u_p に一次従属しているので

$$u_p^* = k_1 + k_2 x + k_3 y + k_4 u_p, \quad k_i = \text{const.}, \quad \text{と表わし,} \quad (12)$$

$$\left. \begin{aligned} w_0(z) &= C + k_1(C_4 - \alpha'), \quad \psi_y(z) = -\{C_1 + k_2(C_4 - \alpha') - u_p'\} \\ \psi_x(z) &= -\{C_2 + k_3(C_4 - \alpha') - v_p'\}, \quad \theta = -\{C_3 + k_4(C_4 - \alpha') - \varphi'\} \end{aligned} \right\} \quad (13)$$

とくと, 腹板中心線上での z 方向変位 w は,

$$w = w_0 - \{\psi_y + v_p'(\alpha + \varphi)\}x - \{\psi_x + u_p'(\alpha - \varphi)\}y - \theta u_p \quad (14)$$

5. 釣合式

\bar{P}_z, \bar{P}_s ; z, s 方向の外力, \bar{Q}_z, \bar{T}_{sz} ; 端断面 ($z = z_1, z_2$) に働く応力

A ; 弦状断面積, A_0 ; 腹板断面積, $dA_0 = t ds$, とするとき, 仮想仕事;

$$\int_{z_1}^{z_2} \left[\int_A \sigma_z \delta \epsilon_z dA + \int_{A_0} \tau_{sz} \delta \gamma_{sz} dA_0 + \int_F \tau_{xy} \delta \gamma_{xy} dF \right] dz \\ = \int_{z_1}^{z_2} \left\{ \int_A \bar{P}_z \delta w dA + \int_{A_0} \bar{P}_s \delta \xi dA_0 \right\} dz + \left[\int_A \bar{Q}_z \delta w dA + \int_{A_0} \bar{T}_{sz} \delta \xi dA_0 \right]_{z_1}^{z_2} \quad (15)$$

を計算することにより, 次の釣合の基本方程式をうる。

$$\left. \begin{aligned} \frac{dN}{dz} + P_z &= 0 \quad (a), \quad \frac{dM_x}{dz} - Q_x + m_y = 0 \quad (b), \quad \frac{dM_y}{dz} - Q_y + m_x = 0 \quad (c) \end{aligned} \right\} \quad (16)$$

(次ページに続く)

$$\begin{aligned}
 & -\frac{d}{dz} \left\{ N \left\{ u_p' - (\alpha' - \varphi') y_p \right\} \right\} + \frac{d^2}{dx^2} \left\{ M_x (\alpha - \varphi) \right\} - \frac{dQ_x}{dz} - \left\{ P_x + \frac{d}{dz} \left\{ m_x (\alpha - \varphi) \right\} \right\} = 0 \quad (d) \\
 & -\frac{d}{dz} \left\{ N \left\{ v_p' - (\alpha' - \varphi') x_p \right\} \right\} + \frac{d^2}{dx^2} \left\{ M_y (\alpha + \varphi) \right\} - \frac{dQ_y}{dz} - \left\{ P_y + \frac{d}{dz} \left\{ m_y (\alpha + \varphi) \right\} \right\} = 0 \quad (e) \\
 & -M_x u_p'' - M_y v_p'' + \frac{d}{dz} \left\{ N (u_p' y_p + v_p' x_p) - B_x (\alpha' - \varphi') - B_y (\alpha' + \varphi') \right\} - \frac{dM_\omega}{dz} + 2T_{xy} F + (m_x u_p' + m_y v_p' \\
 & - m_\alpha + m_{T\alpha} \alpha + m_{\alpha\alpha} \varphi) = 0 \quad (f), \quad M_x u_p'' - M_y v_p'' - \frac{d}{dz} \left\{ N (u_p' y_p - v_p' x_p - B_x (\alpha' - \varphi') + B_y (\alpha' + \varphi')) \right. \\
 & \left. - \frac{dT_p}{dz} - (m_x u_p' - m_y v_p' + m_T - m_{\alpha\alpha} \alpha - m_{T\alpha} \varphi) \right\} = 0 \quad (g), \quad \frac{dM_\omega}{dz} - T_\omega + m_\omega = 0 \quad (h)
 \end{aligned} \tag{16}$$

$$\begin{aligned}
 & \alpha = 2\kappa, \quad N = \int_A \bar{\sigma}_z dA, \quad M_x = \int_A \bar{\sigma}_z y dA, \quad M_y = \int_A \bar{\sigma}_z x dA, \quad B_x = \int_A \bar{\sigma}_z (y - y_p)^2 dA \\
 & B_y = \int_A \bar{\sigma}_z (x - x_p)^2 dA, \quad M_\omega = \int_A \bar{\sigma}_z \omega_p dA, \quad Q_x = \int_A \tau_{sz} l dA_s, \quad Q_y = \int_A \tau_{sz} m dA_s, \quad T_p = \int_{A_s} \tau_{sz} \rho_p dA_s \\
 & T_s = \int_{A_s} \tau_{sz} \bar{c} dA_s, \quad M_\alpha = \int_{A_s} \tau_{sz} \rho_p^* dA_s, \quad T_\omega = T_p - T_s
 \end{aligned} \tag{17}$$

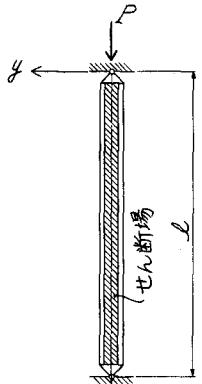
$$\begin{aligned}
 & P_z = \int_A \bar{P}_z dA, \quad m_x = \int_A \bar{P}_z y dA, \quad m_y = \int_A \bar{P}_z x dA, \quad m_\omega = \int_A \bar{P}_z \omega_p dA, \quad P_x = \int_{A_s} \bar{P}_s l dA_s \\
 & P_y = \int_{A_s} \bar{P}_s m dA_s, \quad m_T = \int_{A_s} \bar{P}_s \rho_p dA_s, \quad m_{T\alpha} = \int_{A_s} \bar{P}_s \rho_{pn} dA_s, \quad M_\alpha = \int_{A_s} \bar{P}_s \rho_p^* dA_s, \quad m_{\alpha\alpha} = \int_{A_s} \bar{P}_s \rho_{pn}^* dA_s
 \end{aligned} \tag{18}$$

xy座標を定め、Sの原素および x_p, y_p を決めるのに次の条件を用いると便利である。

$$\begin{aligned}
 & \int_A x dA = 0, \quad \int_A y dA = 0, \quad \int_A xy dA = 0 \\
 & \int_A \omega_p dA = 0, \quad \int_A x \omega_p dA = 0, \quad \int_A y \omega_p dA = 0
 \end{aligned} \tag{19}$$

各部分の応力は、次式で表わされる。

$$\begin{aligned}
 & \bar{\sigma}_z = E \epsilon_z, \quad \tau_{sz} = G \delta_{sz}, \quad \tau_{xy} = G_p \delta_{xy} \quad (20) \\
 & G_p; \text{対傾構置換せん断場のせん断弾性係数}
 \end{aligned}$$



(図-3)

6. 応用例；せん断変形を考慮した柱の曲げ座屈 ($\alpha = \varphi = \theta = 0$) (図-3)

$$(16) \text{式} \text{の} (c), (e) \text{より}, \quad M_x - Q_y = 0, \quad P v_p'' - Q_y = 0 \tag{21}$$

$\bar{\sigma}_z$ を線形化し、次の $\bar{\sigma}_z$ と τ_{sz} を用いる。

$$\begin{aligned}
 & \bar{\sigma}_z = E \left\{ \omega_p' - \psi_y' x - \psi_x' y - \theta' \omega_p \right\} \\
 & \tau_{sz} = G \left\{ (u_p' - \psi_y) l + (v_p' - \psi_x) m + \varphi' \rho_p - \theta (\rho_p - \bar{c}) + \alpha' \rho_p^* \right\}
 \end{aligned} \tag{22}$$

(17), (19), (22)式から。

$$M_x = -EI_x \psi_x', \quad Q_y = GJ_y (v_p' - \psi_x), \quad I_x = \int_A y^2 dA, \quad J_y = \int_{A_s} m^2 dA_s \tag{23}$$

$$\text{よって}, \quad v_p'' + \frac{GJ_y}{EI_x} \frac{P}{(GJ_y - P)} v_p'' = 0 \quad \text{から} \quad P_{cr} = EI_x \frac{\pi^2}{l^2} \cdot \frac{1}{1 + EI_x \frac{\pi^2}{l^2} \frac{1}{GJ_y}} \tag{24}$$

これは、文献4)の結果と一致する。

(参考文献)

- 1) 深沢, "トラス橋の横剛性座屈について" 東大橋梁研究室報告 106 1962
- 2) F. Nishino, C. Kasemset and S.L. Lee, "Variational Formulation of Stability Problems for Thin-walled Members" in preparation.
- 3) 本学次講演会 I-29, 倉方, 藤井, "箱型トラスのねじり解析について"
- 4) Timoshenko and Gere, "Theory of Elastic Stability" P 137 182
- 5) C.F. Kollbrunner und N. Hajdin, "Dünnwandige Stäbe" Springer-Verlag 1972.